



Emissão sincrotron

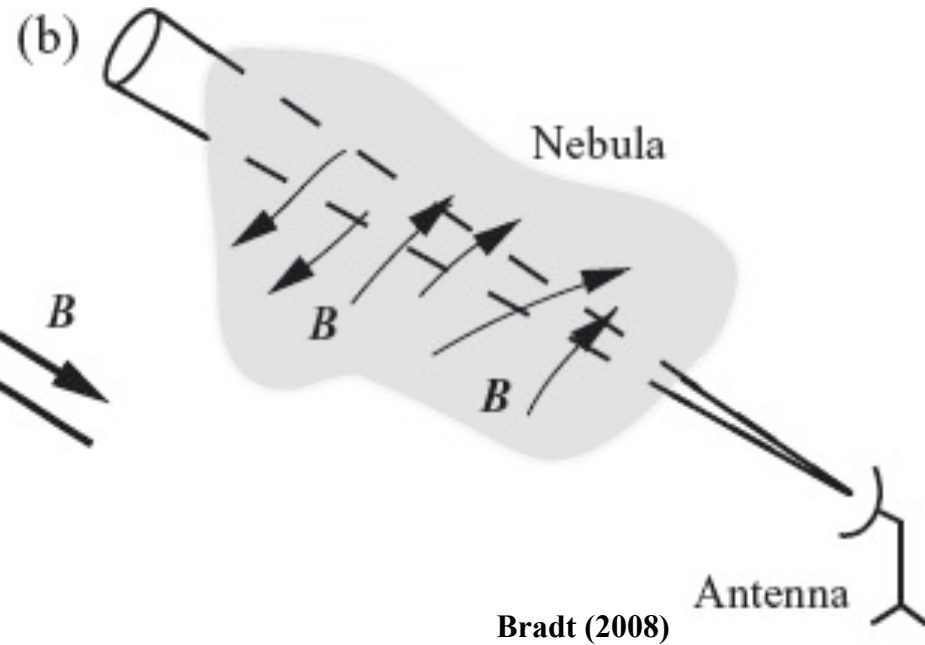
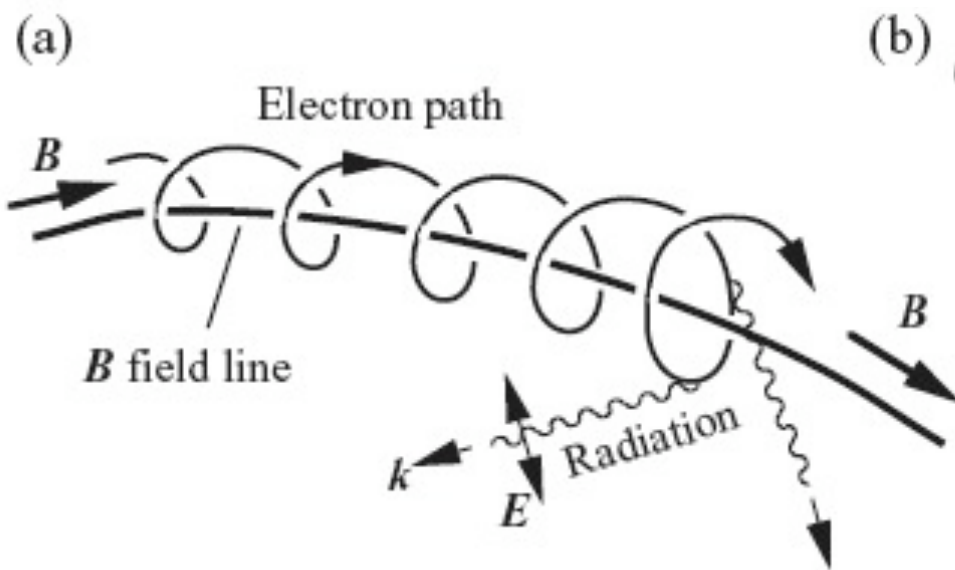
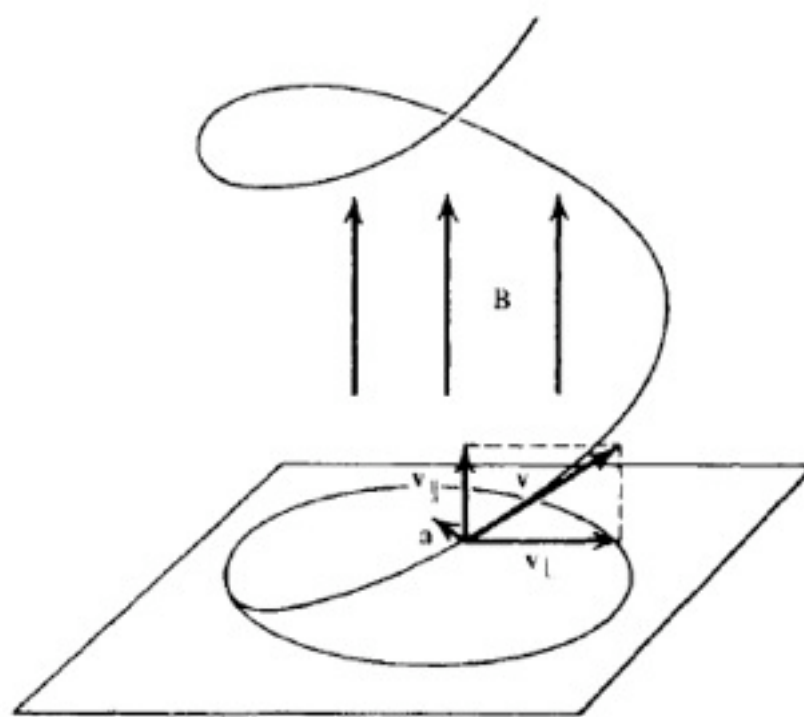
Carlos Alexandre Wuensche
Processos Radiativos I

Última revisão: Abril de 2010



Algumas referências para esse capítulo...

- Theoretical Astrophysics (T. Padmanabham), cap. 6, seção 6.10 e 6.11
- Classical Electrodynamics (J. D. Jackson), cap. 14, secs. 14.5 e 14.6
- High Energy Astrophysics - Vol. II (M. Longair), cap 18.
- Bremsstrahlung, Synchrotron Radiation, and Compton Scattering of High Energy Electrons Traversing Dilute Gases (G. Blumenthal e R. Gould), Review of Modern Physics, 42(2), 237-270 (1970)
- Cosmic Magnetobremsstrahlung (synchrotron radiation) (V. Ginzburg e S. Syrovatskii), Annual Review of Astronomy and Astrophysics, 297-350 (1965)



Bradt (2008)



Introdução

- Partículas aceleradas por um campo magnético emitem radiação.
 - Ciclotron: caso não relativístico (frequência proporcional a B)
 - Síncrotron: caso relativístico (amplificado pelo fator γ , frequência característica muito maior que frequência de giro)
- Termo antigo: "bremsstrahlung magnético"
- Cálculo da potência emitida no referencial do e^- é mais simples; transformação para o referencial em repouso é amplificada por $(eB)^2$

Introdução

- Ensemble de e^- emitindo radiação em forma de lei de potência decrescente é uma situação comum em astrofísica
- Esse tipo de espectro é chamado "não-térmico", em contraste com a lei de potência "térmica" crescente da curva de corpo negro, na região de Rayleigh-Jeans.
- Radiação de curvatura: emissão sincrotron alterada pela curvatura do campo magnético (p. ex., em estrelas de nêutrons).
- Emissão em fase produzida por um grupo de elétrons gera uma radiação coerente (da ordem de N^2 para $N e^-$)



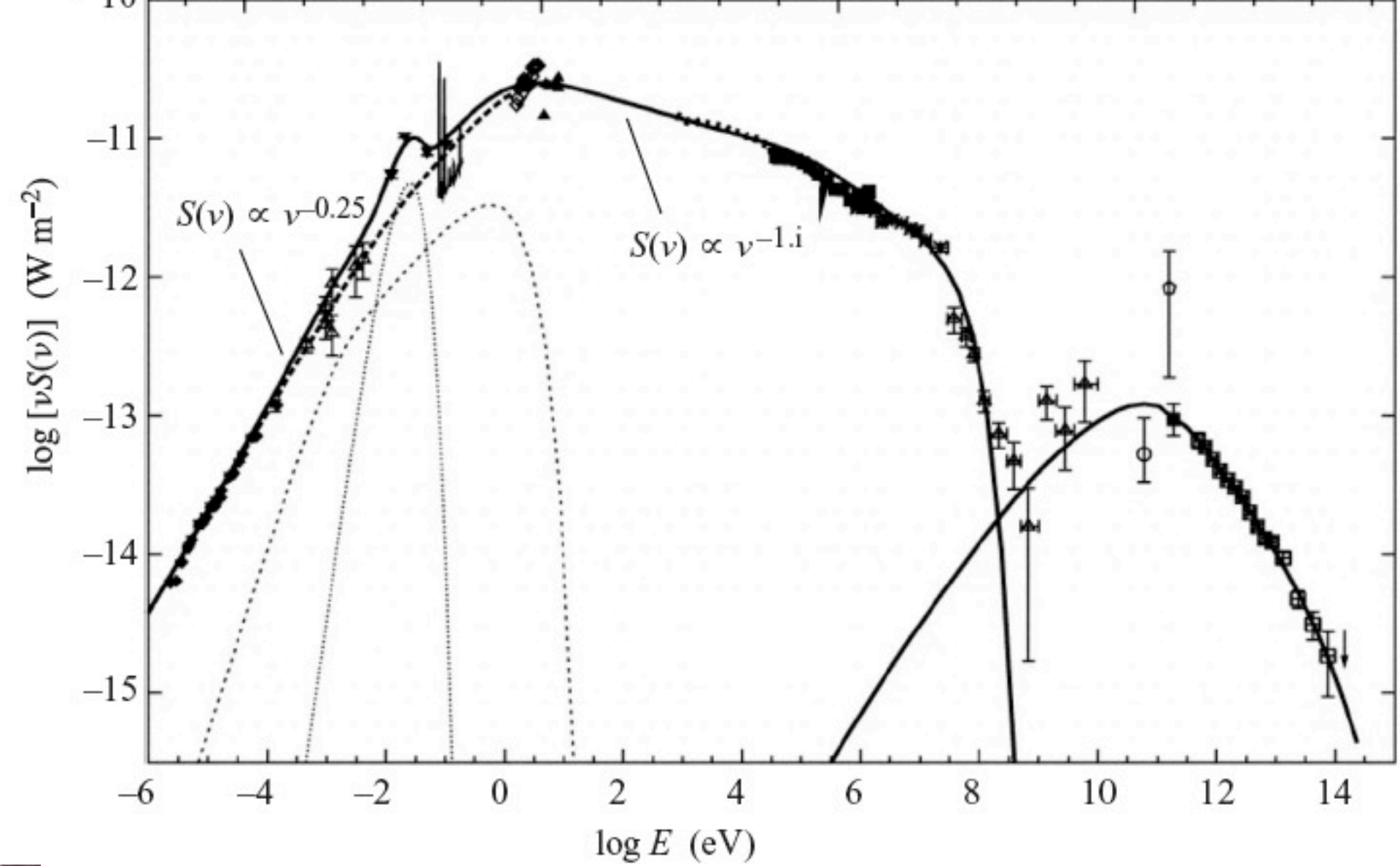
Introdução

- A intensidade específica e o espectro de emissão dependem da densidade eletrônica e da intensidade do campo magnético, e ambos decrescem com a frequência (lei de potência "descendente")
- O espectro não-térmico é esperado, nesse caso, porque os e^- que produzem a radiação não se encontram em equilíbrio térmico com a vizinhança (muito energéticos e baixa densidade numérica)
- Observado da faixa de rádio até raios X. Objeto clássico em que a emissão aparece em diversos comprimentos é o pulsar do Caranguejo (Crab)



Observações

- Situação de interesse astrofísico: campo magnético num plasma, não no vácuo (elétrons com grande velocidade e baixa densidade numérica)
- A maioria dos casos de emissão contínua em astrofísica é sincrotron!
- Casos típicos
 - Emissão solar (rádio e óptico)
 - Emissão em rádio na Galáxia (disco e halo)
 - Emissão em rádio de envelopes de supernovas
 - Emissão em rádio de galáxias ativas
 - Emissão em raios X de quasares
 - Processo dominante em astrofísica de altas energias
- Em geral a emissão é POLARIZADA!



Bradt (2008)

Abordagem básica

- Vamos derivar o caso relativístico e reduzi-lo ao caso não relativístico posteriormente. Partindo da força de Lorentz

$$\vec{F} = q(\vec{E} + \frac{1}{c}\vec{v} \times \vec{B})$$

$$\omega = \frac{cqB}{E_{part}} = \frac{qb}{mc} \sqrt{1 - v^2/c^2} = \frac{qB}{mc\gamma}$$

- Em que E é a energia da partícula ($=\gamma mc^2$).
- Se $B \perp v$, teremos o movimento confinado a um plano. Se $v \cdot B \neq 0$, teremos uma componente paralela e a partícula realizará um movimento helicoidal, superpondo $v_{//}$ e v_{\perp}

A potência emitida

- Da expressão para a potência relativística, temos

$$\frac{dE}{dt} = \frac{2q^2}{3c^3} \gamma^4 [a_{\parallel}^2 + a_{\perp}^2]$$

- Casos particulares:

- $a_{\parallel} = 0$, temos o movimento confinado a um plano

- $a_{\perp} = \omega v_{\perp}$, de modo que:

$$\frac{dE}{dt} = \frac{2q^2}{3c^3} \gamma^4 \frac{q^2 B^2}{\gamma^2 m^2 c^2} v_{\perp}^2$$

$$\begin{aligned} r_0 &= q^2/mc \\ \beta_{\perp} &= v_{\perp}/c \\ U_{\text{mag}} &= B^2/8\pi \\ v_{\perp} &= v \sin \alpha \end{aligned}$$

- α é o ângulo entre B e a direção do movimento da partícula (**pitch angle**). Integrando β sobre todos os ângulos sólidos teremos $\langle \beta_{\perp}^2 \rangle = 2\beta^2/3$

Potência emitida

$$\frac{dE}{dt} = \frac{4r_0^2}{9} \gamma^2 \beta_{\perp}^2 B^2$$

$$\frac{dE}{dt} = \frac{4}{3} c \sigma_T \gamma^2 \beta_{\perp}^2 U_B^2$$

$$\sigma_T = \frac{8\pi}{3} r_0^2$$

- A escala de tempo para perdas de energia por emissão sincrotron pode ser obtida dividindo a energia do elétron (γmc^2) por dE/dt :

- $t_{\text{sinc}} \sim 5 \times 10^8 / (\gamma B) \sim 10^{10} (B/10^{-6} \text{ G})^{-2} (E/\text{GeV})^{-1}$ anos para $\beta \sim 1$

- A radiação emitida vai ser colimada num cone cuja abertura $\theta \sim 1/\gamma$

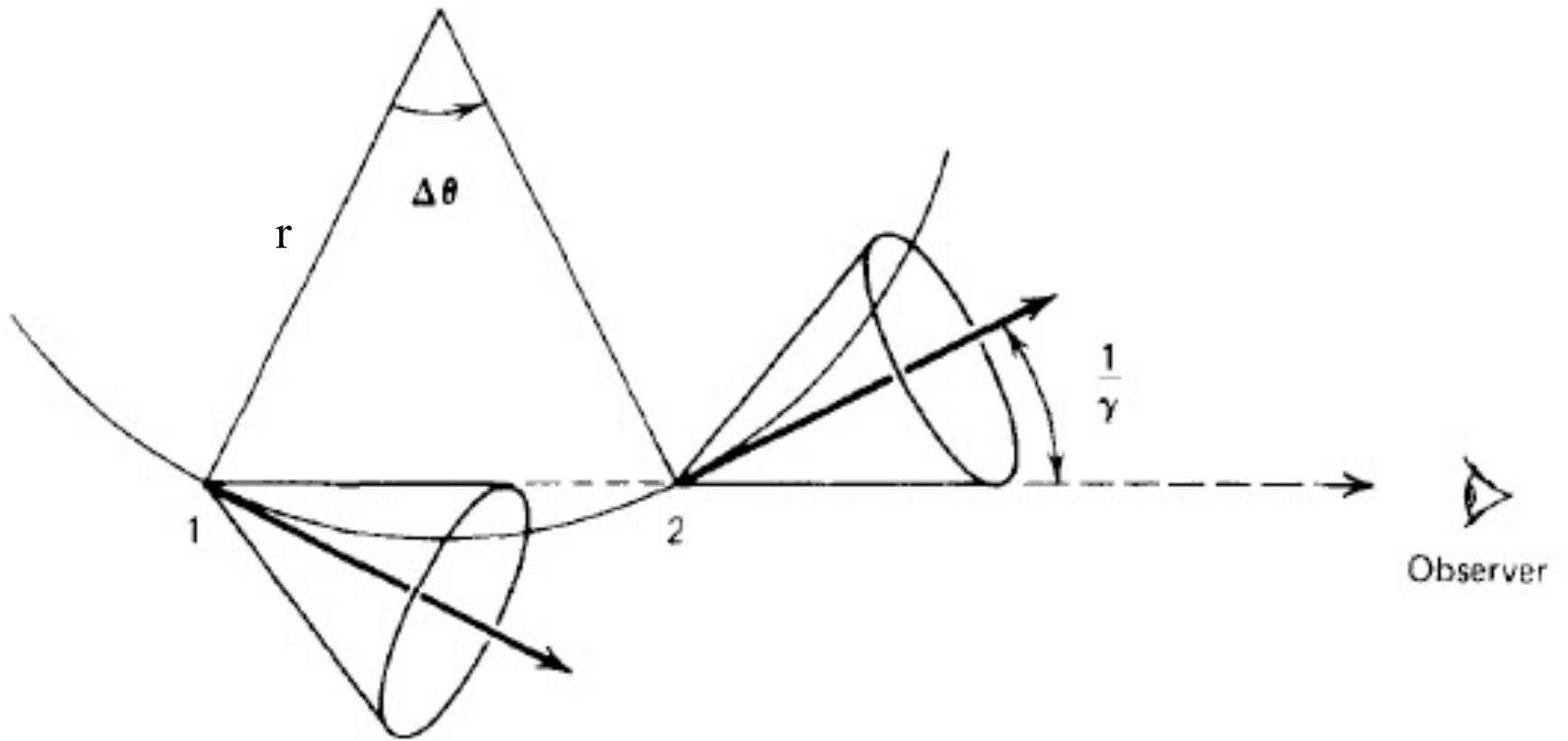


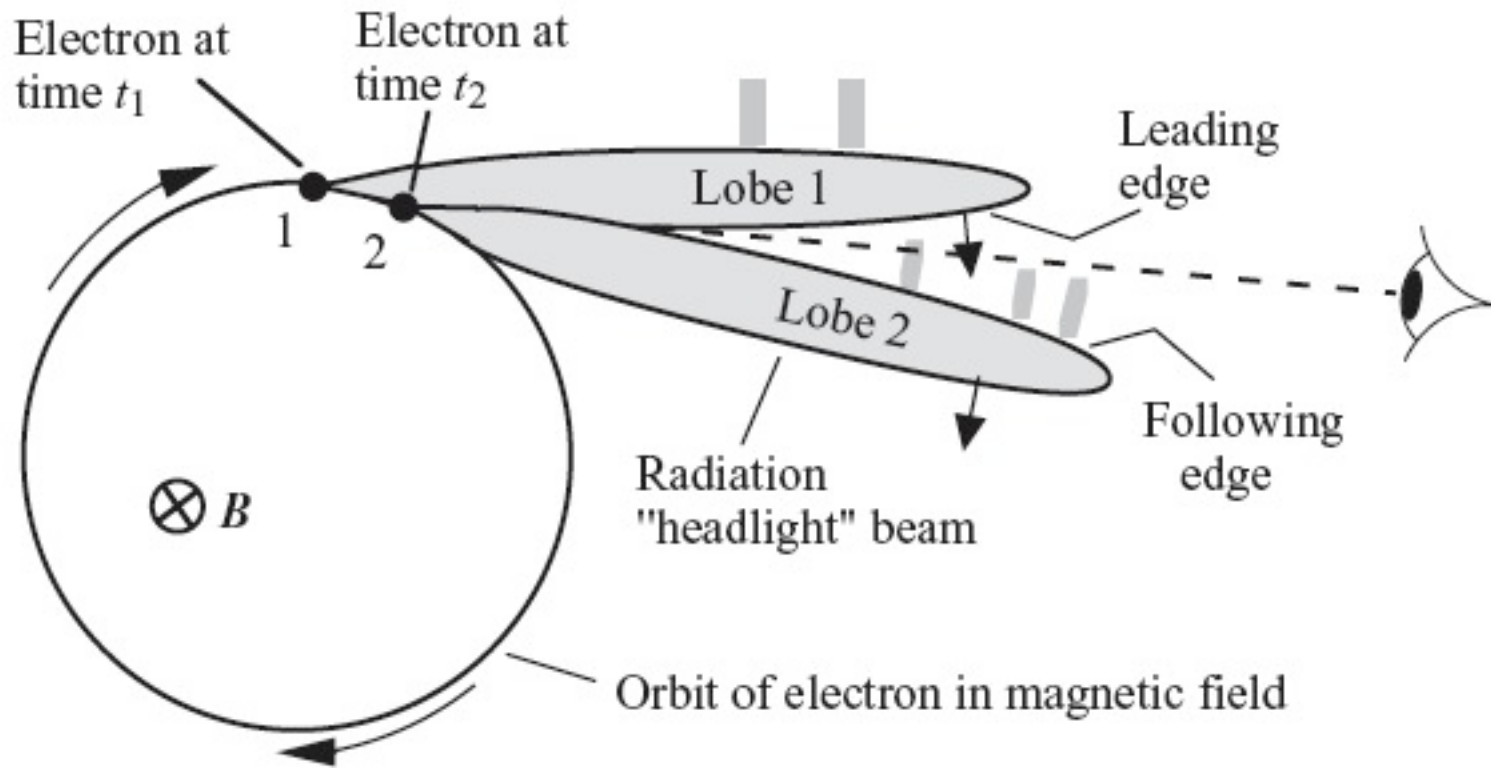
Implicações da emissão relativística

- Um observador somente verá a radiação se estiver na linha de visada do ângulo sólido de abertura $\Delta\theta$
- O campo elétrico no ponto de observação, em qualquer instante, é função de $\gamma\theta$.
- Relacionamos o tempo de chegada da radiação (t) com θ usando considerações geométricas (Fig. 6.2 R&L).
- A distância Δs percorrida pelo e^- ao longo da trajetória circular em torno de B é $\Delta s = r\Delta\theta$ e $\Delta\theta = 1/\gamma \rightarrow \Delta s = 2r/\gamma$.

Implicações da emissão relativística

- Mas o raio de curvatura r é calculado a partir da eq. de movimento!
- Como $|\Delta \mathbf{v}| = v \Delta \theta$, $\Delta s = v \Delta t$, v e $\Delta s / \Delta \theta = (1/v^2) |\Delta \mathbf{v}| / \Delta t$, temos que $\Delta s / \Delta \theta = \gamma v m c / v^2 (q B \text{sena}) = \omega_B \text{sena} / v$
- Levando em conta o atraso da emissão entre os pontos 1 e 2 na Fig 6.2, $\Delta t_{\text{obs}} \sim \Delta t - r \Delta \theta / c$. Mas $\Delta t = r \Delta \theta / v$, logo $\Delta t_{\text{obs}} = r \Delta \theta / v (1 - v/c)$!
- Como $\gamma \gg 1$, podemos escrever $(1 - v/c) \sim 1/2\gamma^2$
- Assim, a dependência $\gamma \theta$ pode ser escrita como:
- $\gamma \Delta \theta = \gamma v (1 - v/c) \Delta t_{\text{obs}} / r = 2\gamma^3 \Delta t_{\text{obs}} \omega_B \text{sena}$





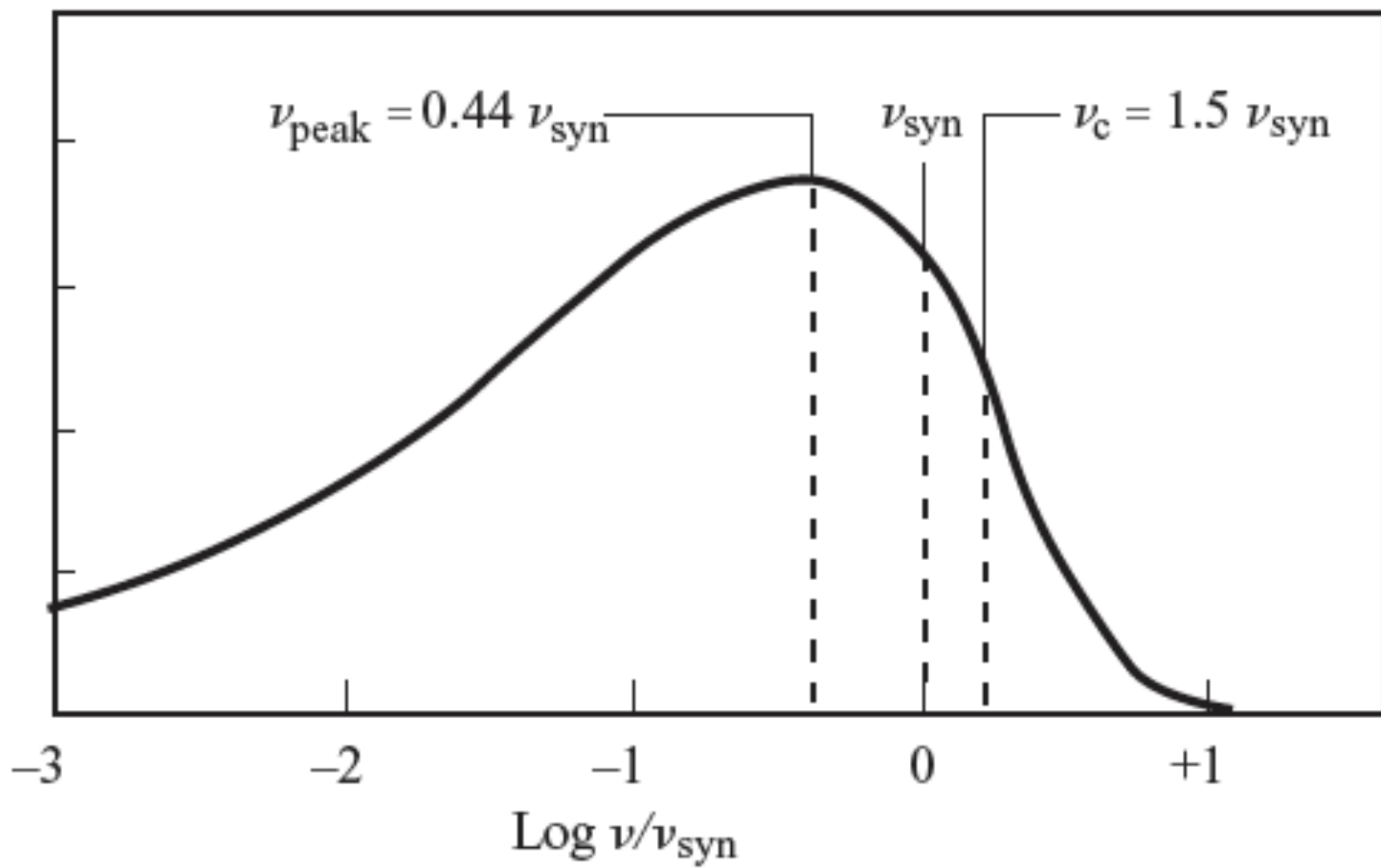
Bradt (2008)

- Definimos uma frequência de corte (ou frequência crítica), tal que:

$$\begin{aligned}\omega_c &= \frac{3}{2} \left(\frac{qB \text{sen} \alpha}{mc} \right) \gamma^2 \\ &= \frac{3}{2} \gamma^3 \omega_B \text{sen} \alpha \\ &= \approx 10^2 \text{ MHz} \left(\frac{B}{10^{-6} \text{ G}} \right) \left(\frac{E}{\text{GeV}} \right)^2\end{aligned}$$

- Assim, $\gamma \Delta \theta = 2\gamma^3 \Delta t_{\text{obs}} \omega_B \text{sen} \alpha = 4/3 \omega_c \Delta t_{\text{obs}}$
- Com esse resultado, o par de Fourier $E(\omega)$ pode ser expresso com a dependência (ω/ω_c) !!! Assim, a energia irradiada por período orbital $(dE/d\omega)(1/T) \equiv dE/d\omega dt$ será uma função de (ω/ω_c)

P_ν (W/Hz) Escala relativa



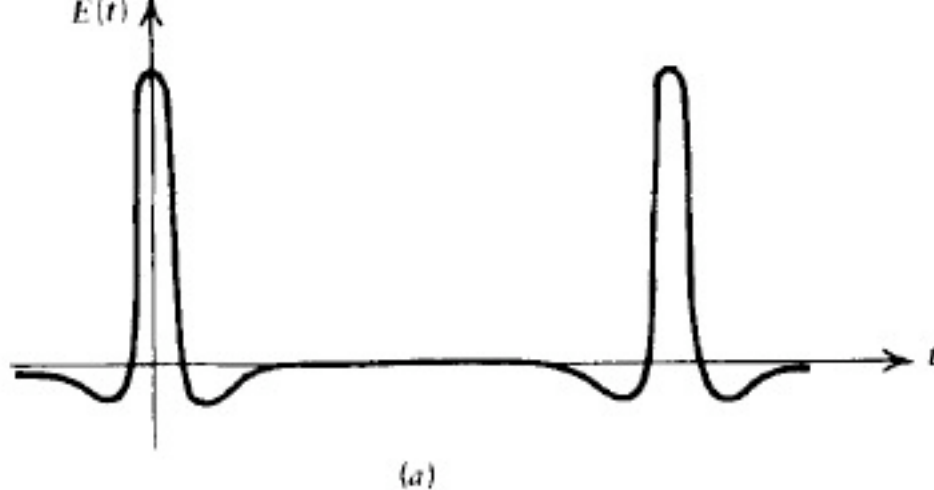


Figure 6.10a Time dependence of electric field from a rapidly moving particle in a magnetic field (synchrotron radiation).

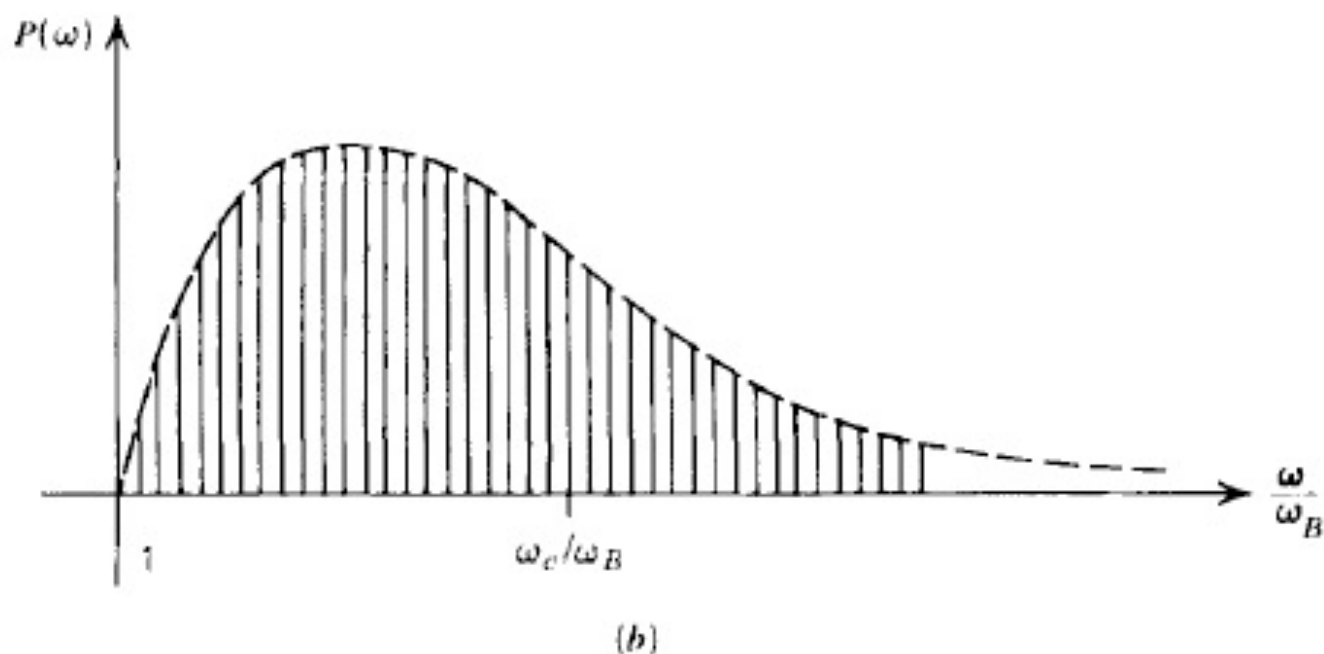
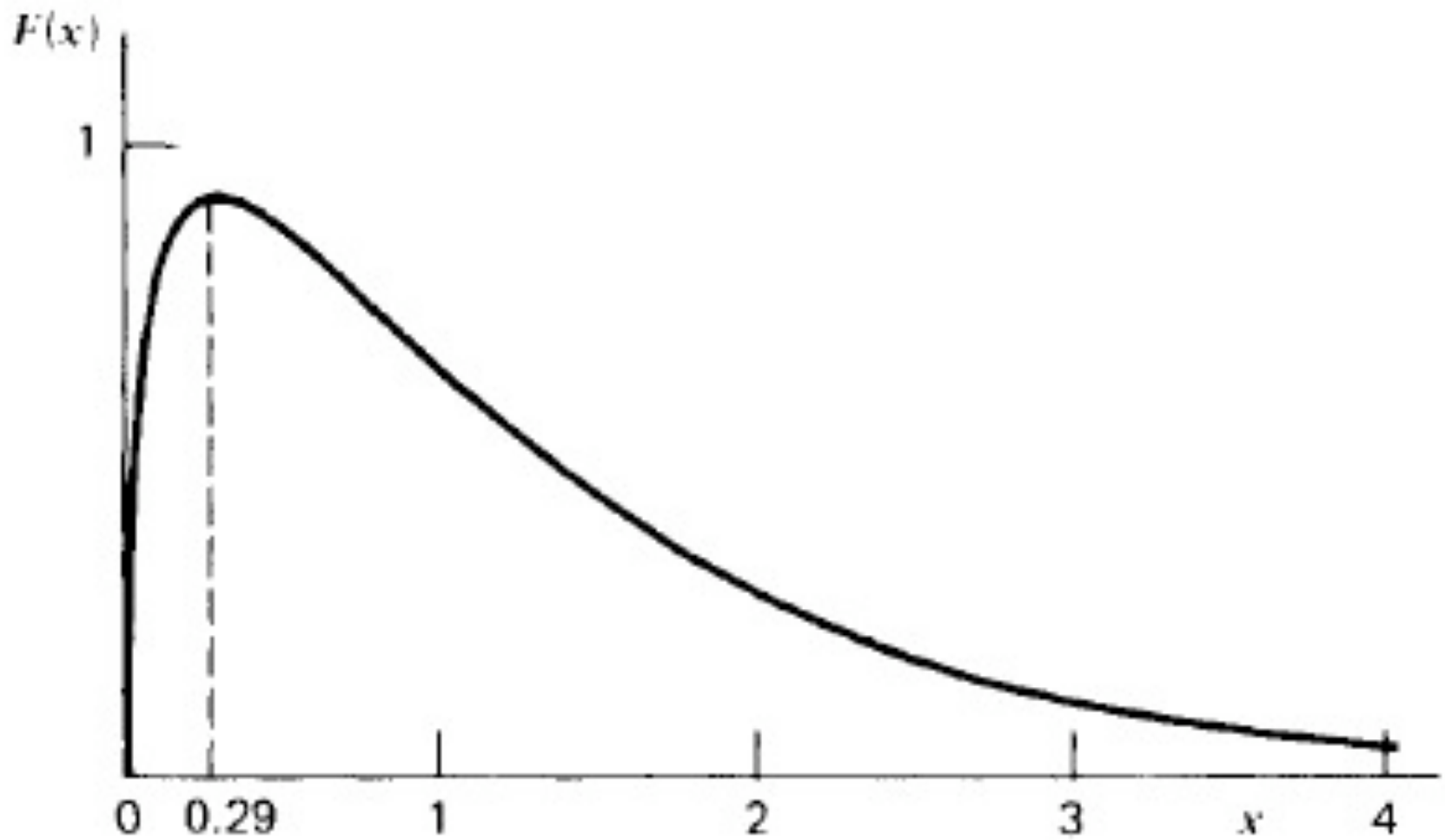


Figure 6.10b Power spectrum for a.



R&L (1979)

Potência emitida por um e^-

- Sabendo que $(dE/d\omega)(1/T) \equiv dE/d\omega dt$ será uma função de (ω/ω_c) , podemos escrever, de uma forma geral, que $dE/d\omega dt = P(\omega) = C_1 F(\omega/\omega_c)$. Assim:

$$P = \int_0^{\infty} P(\omega) d\omega = C_1 \int_0^{\infty} F\left(\frac{\omega}{\omega_c}\right) d\omega = \omega_c C_1 \int_0^{\infty} F(x) dx$$

$$\frac{dE}{dt} = P = \frac{2q^4 B^2 \gamma^2 \beta^2 \text{sen}^2 \alpha}{3m^2 c^3} \quad \omega_c = \frac{3\gamma^2 q B \text{sen} \alpha}{2mc}$$

Já definidos
anteriormente



Potência emitida por um e^-

A potência emitida por um único elétron fica, então:

$$\begin{aligned} P &= \int_0^\infty \frac{\sqrt{3} q^3 B \beta^2 \text{sen} \alpha}{2\pi mc^2} F\left(\frac{\omega}{\omega_c}\right) d\omega \\ &= \frac{\sqrt{3} q^3 B \beta^2 \text{sen} \alpha}{2\pi mc^2} \int_0^\infty F\left(\frac{\omega}{\omega_c}\right) d\omega \end{aligned}$$

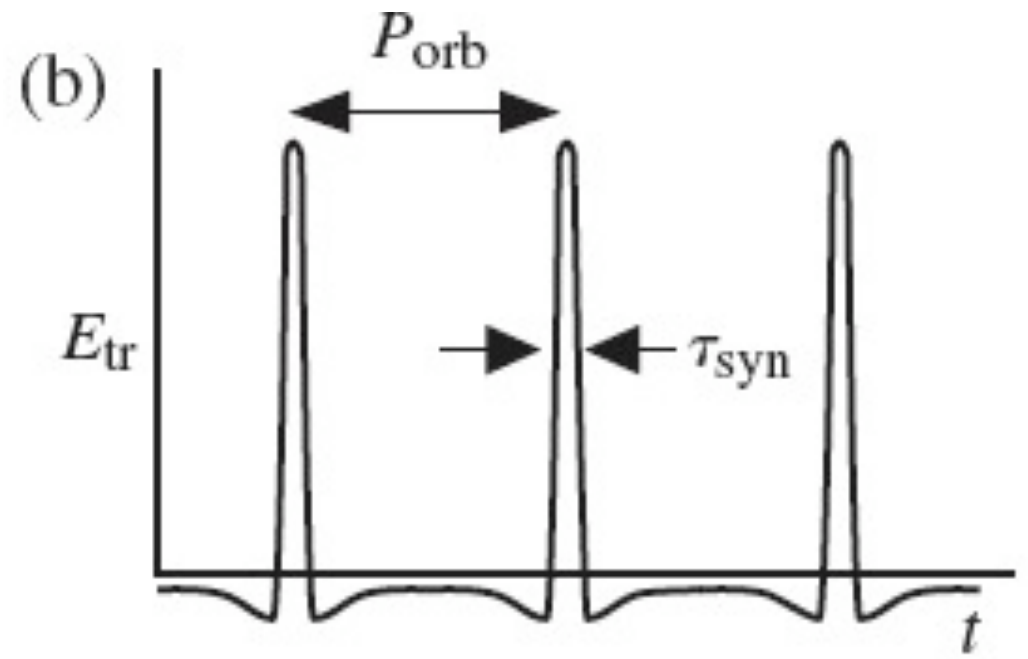
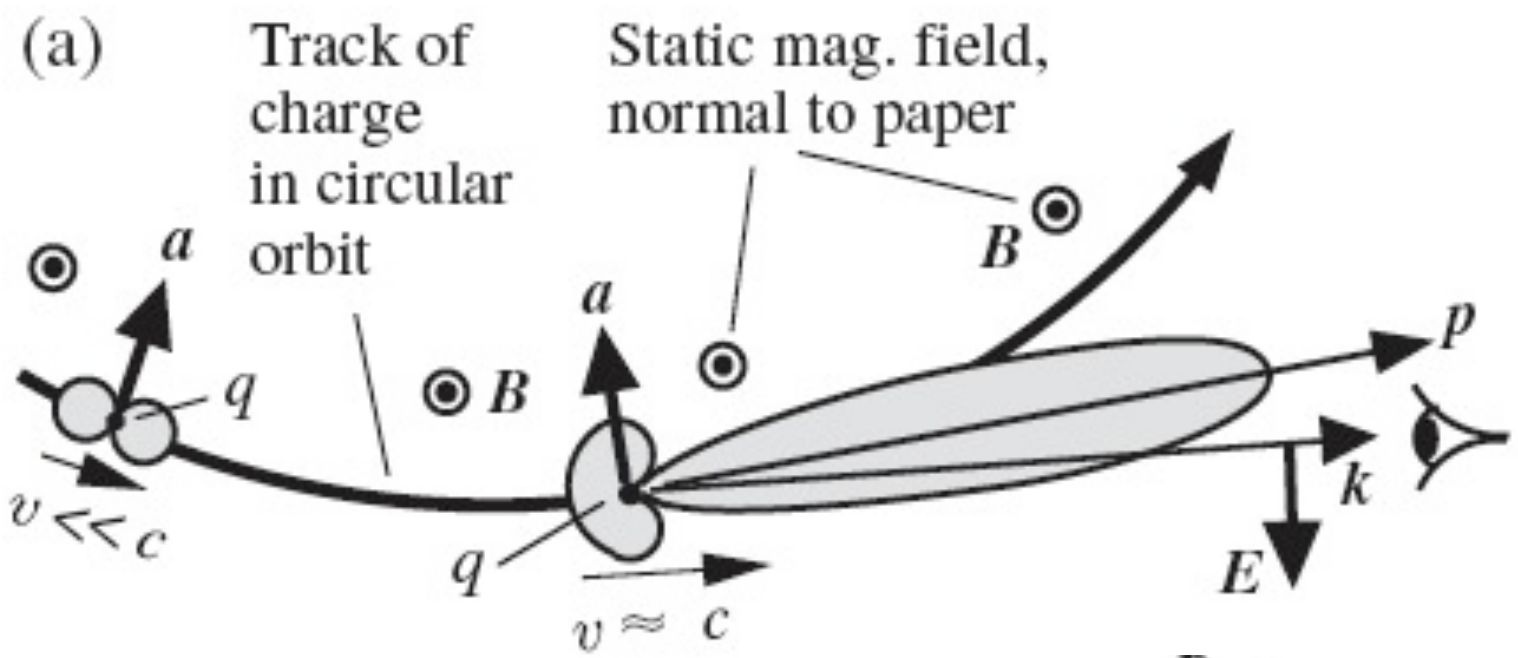
Características da emissão

- No movimento não-relativístico, a frequência de emissão é $\omega_{\text{cic}} = (qB/mc) \rightarrow$ única!
- O aumento da velocidade, tal que $v \rightarrow c$, causa 3 efeitos:
 - harmônicos superiores passam a contribuir para o espectro, com intensidade proporcional à potência de v/c
 - A frequência de rotação começa a decrescer proporcionalmente a $1/\gamma$
 - Radiação fica confinada a um cone de abertura $\theta \sim 1/\gamma$ e o observador verá a radiação em intervalos $\Delta t \sim \gamma^{-3}/\omega_B$

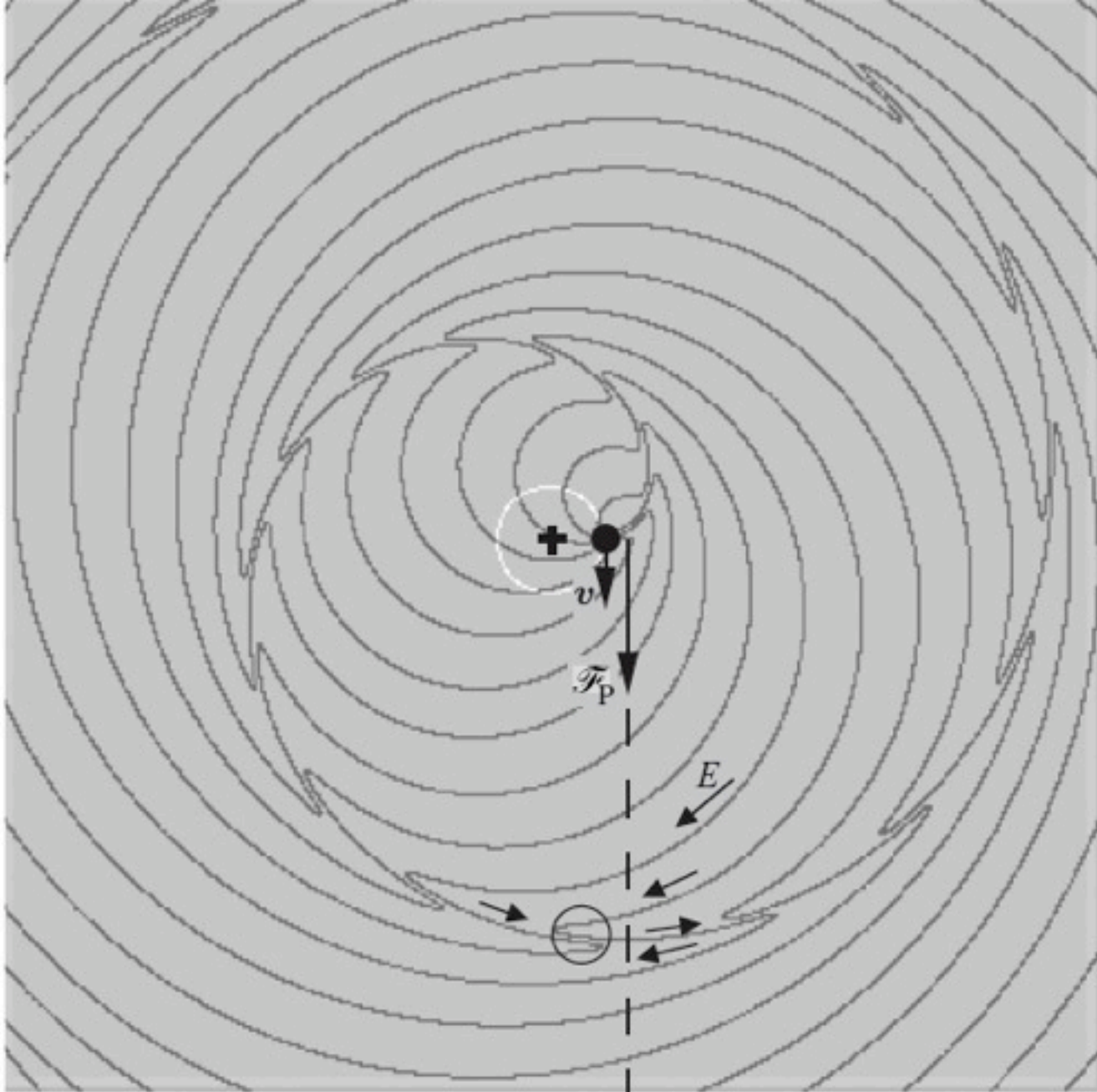


Mais características...

- No domínio das frequências, aparecem picos em ω_B e seus harmônicos, com um corte em $\omega_c \sim 1/\Delta t \propto \gamma^{-3}\omega_B$
- Para $\gamma \gg 1$, os harmônicos vão se aproximando, e cada contribuição vai se alargando devido à distribuição de γ e do ângulo α .
- Consequência: espectro parece um contínuo, com máximo em ω_c , e a maior parte da energia será emitida próxima a ω_c .



Bradt (2008)



Bradt (2008)

Comentários sobre a polarização...

- Emissão sincrotron apresenta alto grau de polarização
- Considerando um único e^- orbitando um campo magnético, para $v \ll c$, teremos:
 - Radiação linearmente polarizada no plano da órbita ($E \perp B$)
 - Radiação circularmente polarizada na direção de B
- Para $v \sim c$, a situação modifica-se drasticamente:
 - Emissão praticamente confinada ao plano da órbita
 - Ensemble de e^- com uma distribuição de "pitch angles" faz com que as componentes da polarização circular se cancele, restando somente a componente linear

Resumo do tratamento simplificado

- A distribuição angular de uma única partícula emissora está localizada próximo (por um fator $1/\gamma$) no cone com ângulo igual à metade do "pitch angle"
- O espectro de uma única partícula vai até uma frequência crítica ω_c , sendo somente função de ω/ω_c
- Uma distribuição de partículas com energia E , seguindo uma lei de potência com índice espectral p , num intervalo suficientemente grande, origina um espectro de radiação com índice espectral s , tal que $s=(p-1)/2$



O tratamento completo

- Envolve a solução da expressão para a potência emitida por frequência angular e ângulo sólido

$$\frac{dE}{d\omega d\Omega} = \frac{q^2 \omega^2}{4\pi^2 c} \left| \int (\vec{n} \times \vec{n} \times \beta) e^{[i\omega(t' - \vec{n} \cdot \vec{r}_0(t')/c)]} dt' \right|^2$$

$$\vec{n} \times (\vec{n} \times \beta) = -\epsilon_{\perp} \text{sen}(vt'/r) + \epsilon_{\parallel} \cos(vt'/r) \text{sen}\theta$$

$$\begin{aligned} t' - \vec{n} \cdot \vec{r}_0(t')/c &= t' - \frac{a}{c} \cos\theta \text{sen}\left(\frac{vt'}{a}\right) \\ &\approx \frac{1}{2\gamma^2} \left[(1 + \gamma^2 \theta^2) t' + \frac{c^2 \gamma^2 t'^3}{3r^2} \right] \end{aligned}$$



$$\begin{aligned}\frac{dW}{d\Omega d\omega} &= \frac{dW_{\perp}}{d\Omega d\omega} + \frac{dW_{\parallel}}{d\Omega d\omega} \\ \frac{dW_{\perp}}{d\Omega d\omega} &= \frac{q^2 \omega^2}{4\pi^2 c} \left| \int \frac{ct'}{a} \exp\left[\frac{i\omega}{2\gamma^2} \left(\theta_{\gamma}^2 t' + \frac{c^2 \gamma^2 t'^3}{3r^2}\right)\right] dt' \right|^2 \\ \frac{dW_{\parallel}}{d\Omega d\omega} &= \frac{q^2 \omega^2 \theta^2}{4\pi^2 c} \left| \int \exp\left[\frac{i\omega}{2\gamma^2} \left(\theta_{\gamma}^2 t' + \frac{c^2 \gamma^2 t'^3}{3r^2}\right)\right] dt' \right|^2\end{aligned}$$

$$y \equiv \gamma \frac{ct'}{r\theta_{\gamma}} \quad \eta \equiv \frac{\omega r \theta_{\gamma}^3}{3c\gamma^3}$$

$$\begin{aligned}\frac{dW_{\perp}}{d\Omega d\omega} &= \frac{q^2 \omega^2}{4\pi^2 c} \left(\frac{r\theta_{\gamma}^2}{\gamma^2 c}\right)^2 \left| \int_{-\infty}^{+\infty} y \exp\left[\frac{3}{2}i\eta\left(y + \frac{1}{3}y^3\right)\right] dy \right|^2 \\ \frac{dW_{\parallel}}{d\Omega d\omega} &= \frac{q^2 \omega^2 \theta^2}{4\pi^2 c} \left(\frac{r\theta_{\gamma}}{\gamma^2 c}\right)^2 \left| \int_{-\infty}^{+\infty} \exp\left[\frac{3}{2}i\eta\left(y + \frac{1}{3}y^3\right)\right] dy \right|^2\end{aligned}$$



$$\eta(\theta = 0) \equiv \frac{\omega r \theta_{\gamma}^3}{3c\gamma^3} = \frac{v\omega}{3c\gamma^3 \omega_B \text{sen}\alpha} = \frac{\omega}{2\omega_c}$$

$$\frac{dW_{\perp}}{d\Omega d\omega} = \frac{q^2 \omega^2}{4\pi^2 c} \left(\frac{r\theta_{\gamma}^2}{\gamma^2 c} \right)^2 K_{2/3}^2(\eta)$$

$$\frac{dW_{\parallel}}{d\Omega d\omega} = \frac{q^2 \omega^2 \theta^2}{4\pi^2 c} \left(\frac{r\theta_{\gamma}}{\gamma^2 c} \right)^2 K_{1/3}^2(\eta)$$

$$\frac{dW_{\perp}}{d\Omega d\omega} = \frac{2q^2 \omega^2 r^2 \text{sen}\alpha}{3\pi c^3 \gamma^4} \int_{-\infty}^{+\infty} \theta_{\gamma}^4 K_{2/3} d\theta$$

$$\frac{dW_{\parallel}}{d\Omega d\omega} = \frac{2q^2 \omega^2 r^2 \text{sen}\alpha}{3\pi c^3 \gamma^2} \int_{-\infty}^{+\infty} \theta_{\gamma}^2 K_{1/3} d\theta$$



$$\frac{dW_{\perp}}{d\Omega d\omega} = \frac{\sqrt{3}q^2 \gamma \text{sen}\alpha}{2c} [F(x) + G(x)]$$

$$\frac{dW_{\parallel}}{d\Omega d\omega} = \frac{\sqrt{3}q^2 \gamma \text{sen}\alpha}{2c} [F(x) - G(x)]$$

$$F(x) \equiv x \int_x^{\infty} K_{5/3}(\xi) d\xi \quad G(x) \equiv x K_{2/3}(\xi)$$

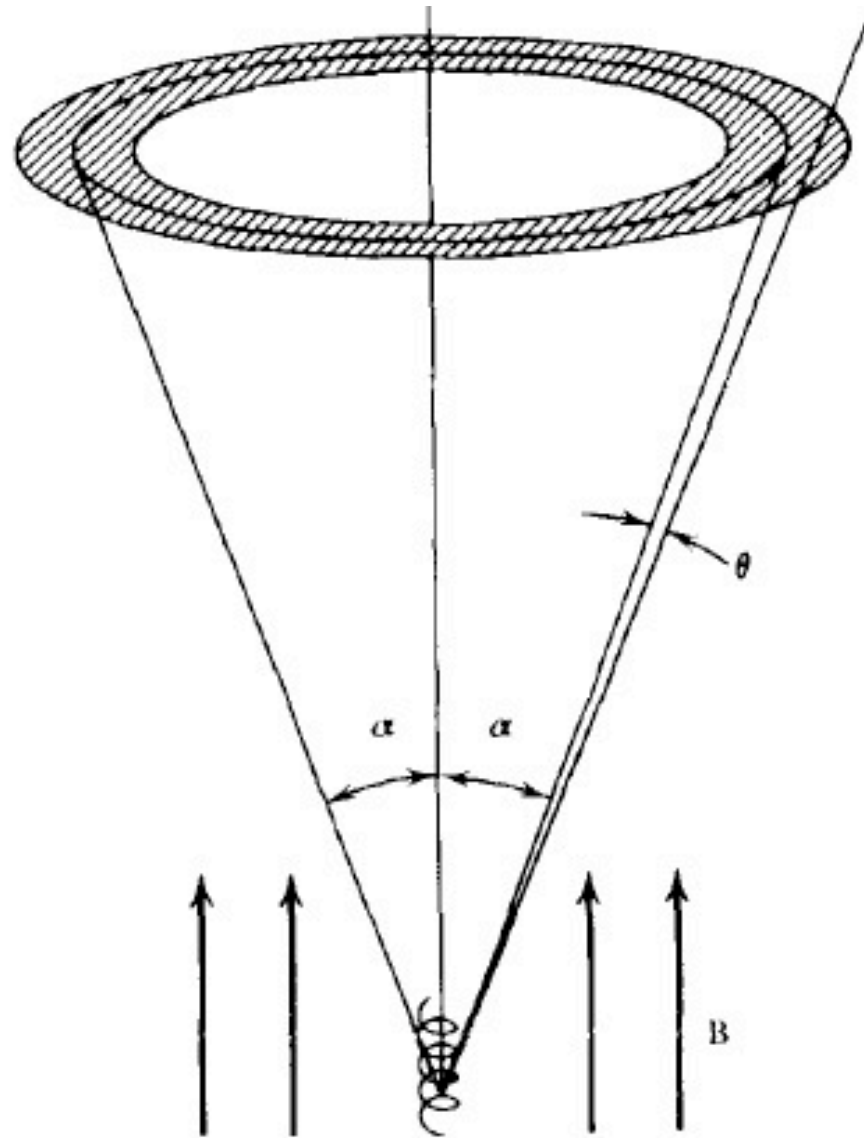


Figure 6.5 Synchrotron emission from a particle with pitch angle α . Radiation is confined to the shaded solid angle.

R&L (1979)



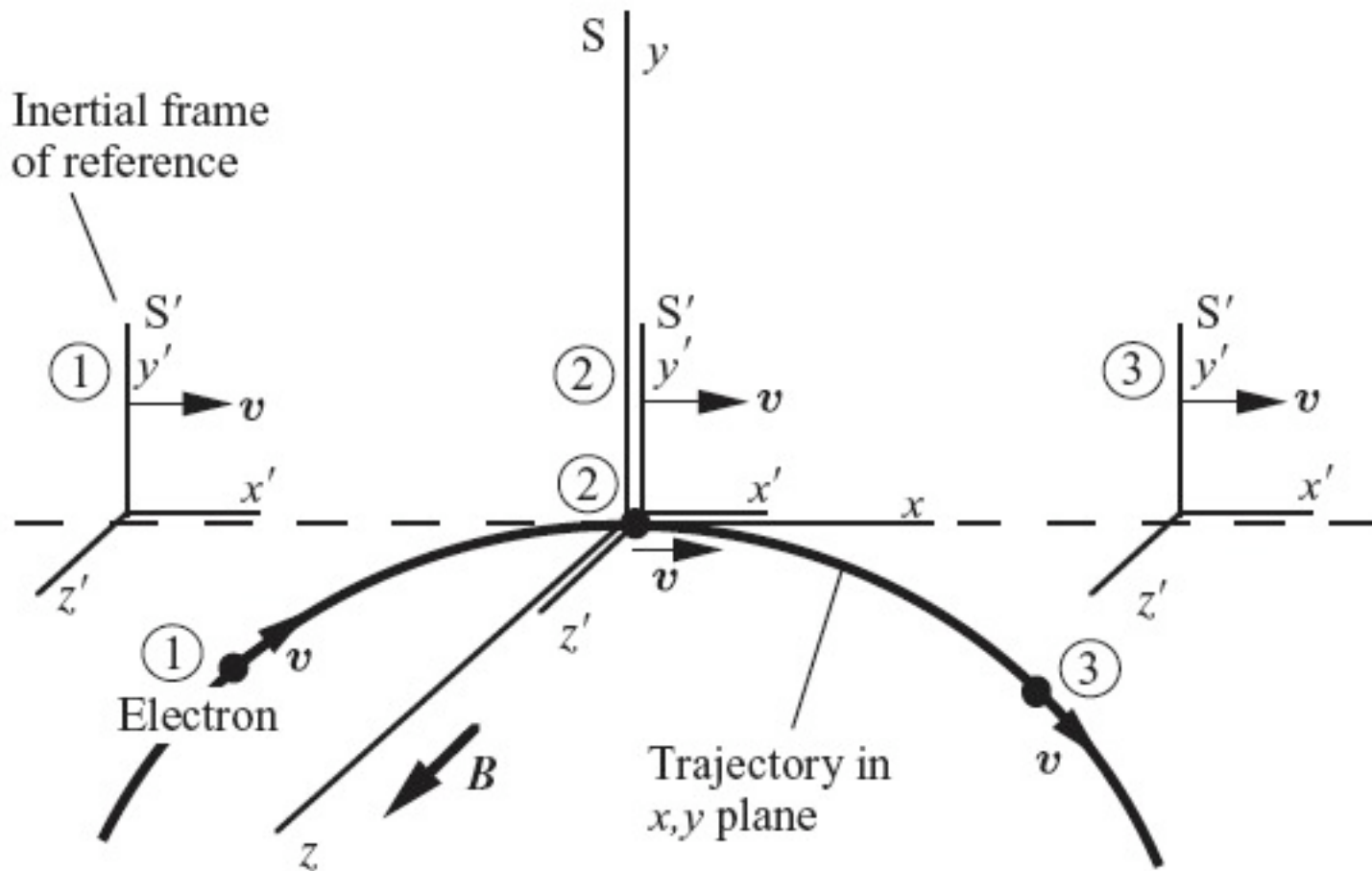
$$P_{\perp}(\omega) = \frac{\sqrt{3}q^3 B \text{sen} \alpha}{4\pi mc^2} [F(x) + G(x)]$$

$$P_{\parallel}(\omega) = \frac{\sqrt{3}q^3 B \text{sen} \alpha}{4\pi mc^2} [F(x) - G(x)]$$

$$P(\omega) = P_{\perp}(\omega) + P_{\parallel}(\omega) = \frac{\sqrt{3}q^3 B \text{sen} \alpha}{2\pi mc^2} F(x)$$

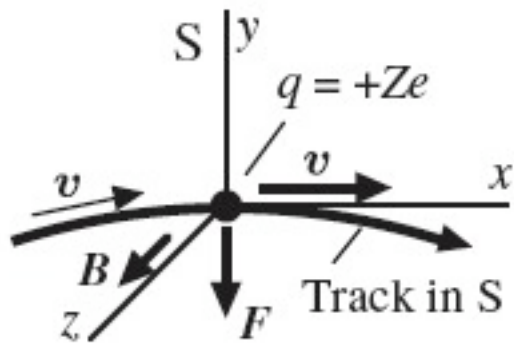
$$F(x) \sim \frac{4\pi}{\sqrt{3}\Gamma(1/3)} \left(\frac{x}{2}\right)^{1/3}, \quad x \gg 1$$

$$F(x) \sim \left(\frac{\pi}{2}\right)^{1/2} e^{-x} x^{1/2}, \quad x \ll 1$$

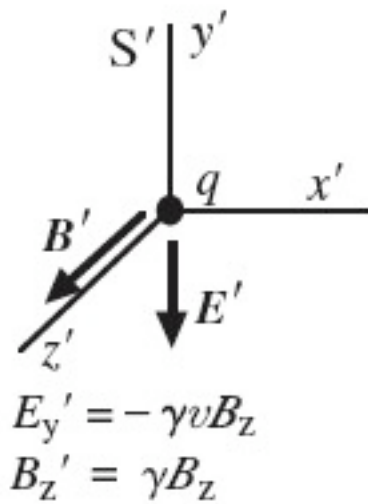


Bradt (2008)

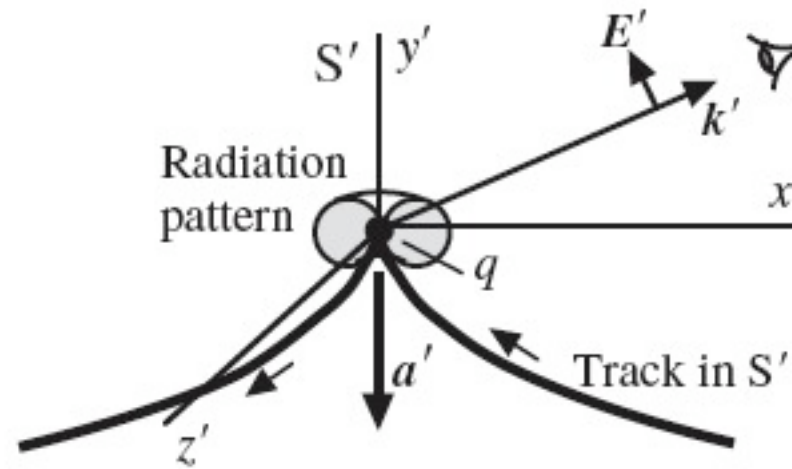
(a) S frame



(b) S' frame



(c) S' frame



O índice espectral

- Da expressão para a potência $P(\omega)$, nota-se que a única dependência com γ está em ω_c .
- Podemos usar esse detalhe para derivar o índice espectral da emissão sincrotron, quando ela pode ser aproximada por uma expressão de lei de potência, num certo intervalo de frequências...
- A distribuição de partículas com energias relativísticas entre E_1 e E_2 pode ser escrita como:
 - $$N(E)dE = CE^{-p}dE \quad E_1 < E < E_2$$
- Sendo que C varia com o "pitch angle" e outras variáveis dinâmicas



A integral para a potência emitida por um único e^- pode ser reescrita com esse funcional de energia, dando:

$$\begin{aligned} P_{tot} &= C \int_{E_1}^{E_2} P(\omega) E^{-p} dE \\ &= C \int_{E_1}^{E_2} F\left(\frac{\omega}{\omega_c}\right) E^{-p} dE \end{aligned}$$

- Trocando de variáveis ($x \equiv \omega/\omega_c$) e lembrando que $\omega_c \sim \gamma^2$

$$P_{tot}(\omega) \propto \omega^{-(p-1)/2} \int_{x_1}^{x_2} F(x) x^{(p-3)/2} dx$$

- para grandes intervalos de energia, a integral tende a uma constante, de forma que

$$P_{tot}(\omega) \propto \omega^{-(p-1)/2}$$

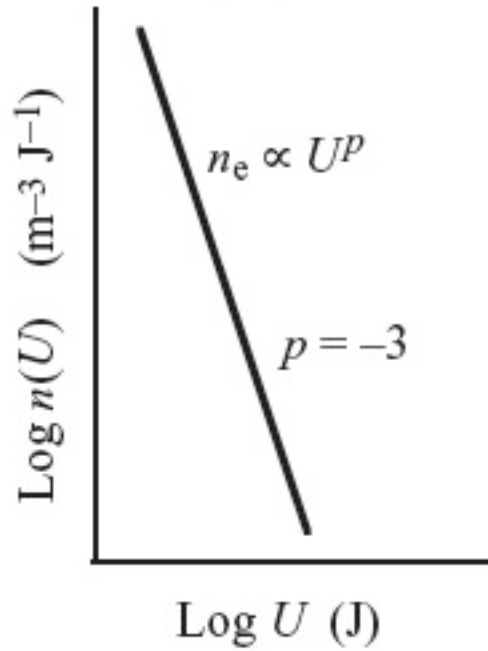


de forma que o índice espectral s da emissão está relacionado com o índice da distribuição de energia das partículas emisoras p , pela expressão $s = (p-1)/2$

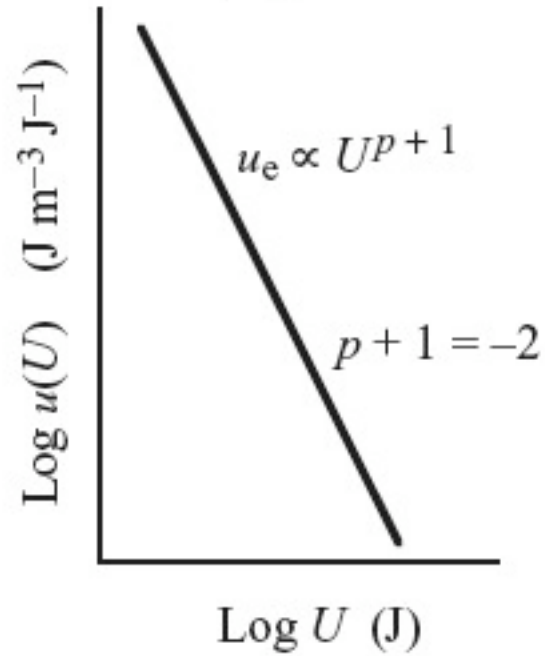




(a) Electron number-density spectrum



(b) Electron energy-density spectrum



(c) Photon volume-emissivity spectrum

